

УДК 537.633.2; 537.322.11

© 1990

**ОБРАЗОВАНИЕ НЕРАВНОВЕСНЫХ ЭЛЕКТРОНОВ
ВБЛИЗИ ПОВЕРХНОСТИ МЕТАЛЛА
И ВЛИЯНИЕ ИХ НА ЯВЛЕНИЯ ПЕРЕНОСА
ПРИ НИЗКИХ ТЕМПЕРАТУРАХ**

B. C. Егоров

Дрейфовое движение электронов и дырок в компенсированном металле в направлении к границе образца создает вблизи этой границы неравновесную концентрацию носителей заряда. В экспериментах на чистом висмуте при низких температурах показано, что эти неравновесные заряды могут играть существенную роль в таких явлениях, как термоэдс, магнитосопротивление, эффект Холла.

Ранее Рашбай [1] рассматривалось образование вблизи поверхности металла неравновесных электронов при протекании электрического тока в условиях анизотропного и многодолинного электронного спектра *n*-Ge. Это приводило к добавочным токам, обусловленным приповерхностными градиентами концентрации носителей в отдельных зонах и соответственно к заметному уменьшению удельной проводимости в тонких образцах (анизотропный размерный эффект — АРЭ). Здесь будет описана иная и в некотором смысле более простая и универсальная ситуация, не требующая ни специальной ориентации образца, ни вообще анизотропии спектра, тем не менее также приводящая к образованию вблизи границы образца неравновесной концентрации носителей заряда, которые могут давать заметный вклад в явления переноса, особенно в магнитном поле.

Итак, пусть электроны и дырки в компенсированном металле ($n_e = n_h$) дрейфуют в направлении к границе в результате, например, увлечения фононами или в скрещенных электрическом и магнитном полях, т. е. при условиях эффекта Холла. Если при этом скорость дрейфа V_D тех и других будет одинакова, то в таком случае нет переноса заряда и соответственно термоэдс увлечения и точно так же нет эдс Холла. Тем не менее такой «нейтральный ток» электронов и дырок (аналог движения нейтральной плазмы из электронов и ионов) будет создавать на границе образца неравновесную концентрацию носителей заряда $n = N - N_0$ ($N_0 = n_e + n_h$ — равновесная концентрация), если время электрон-дырочной рекомбинации τ_{eh} отлично от нуля на поверхности металла. Считая V_D направленное вдоль Oy и $n \ll N_0$, найдем (подобно [1]) из одномерного уравнения диффузии $Dn''_{yy} + V_D n'_y - \tau_{eh}^{-1} n = 0$ (D — коэффициент диффузии) неравновесную добавку $n(y)$, спадающую от границы $y=0$ в глубь металла. Считая, что $V_D^2 \tau_{eh} \ll D = v_F^2 \tau$ (v_F — фермиевская скорость, τ — время релаксации), получим $n(y) = n_0 \exp(-\lambda/y)$, где диффузионная длина $\lambda = (D \tau_{eh})^{1/2}$, $n_0 = N_0 V_D \lambda D^{-1}$. Отметим сразу, что в сильном поперечном магнитном поле ($\omega t \gg 1$) D уменьшается $\propto (\omega t)^{-3}$ (ω — циклотронная частота) и n_0 увеличивается в ωt раз.

Такое приповерхностное изменение концентрации носителей само по себе в данной постановке задачи, по-видимому, было бы малосущественным и трудно наблюдаемым эффектом. Однако на самом деле коэффициенты диффузии электронов и дырок различны ($D_e \neq D_h$) и при сохране-

ни квазинейтральности должна происходить так называемая «амби-
поллярная диффузия» [2] с коэффициентом $D^a = 2D_e D_h (D_{eh} + D_h)^{-1}$, когда
более быстрые частицы «тянут» за собой более медленные. При этом вблизи
поверхности должны возникать «тормозящее» электрическое поле $E_y^a \sim$
 $\infty n_y' (D_e - D_h) / (D_e + D_h)$ и соответствующая дополнительная разность потен-
циалов U^a , которая включена последовательно с термоэдс или эдс Холла.
Поэтому для выявления этого эффекта уже недостаточно двух потен-
циальных контактов, как это обычно делается при стандартных измере-
ниях, а необходимо измерить распределение потенциала. Такого рода
эксперименты как в случае потока тепла, так и в режиме дрейфа в попереч-
ном магнитном поле были проведены на образцах висмута при гелиевых
температурах.

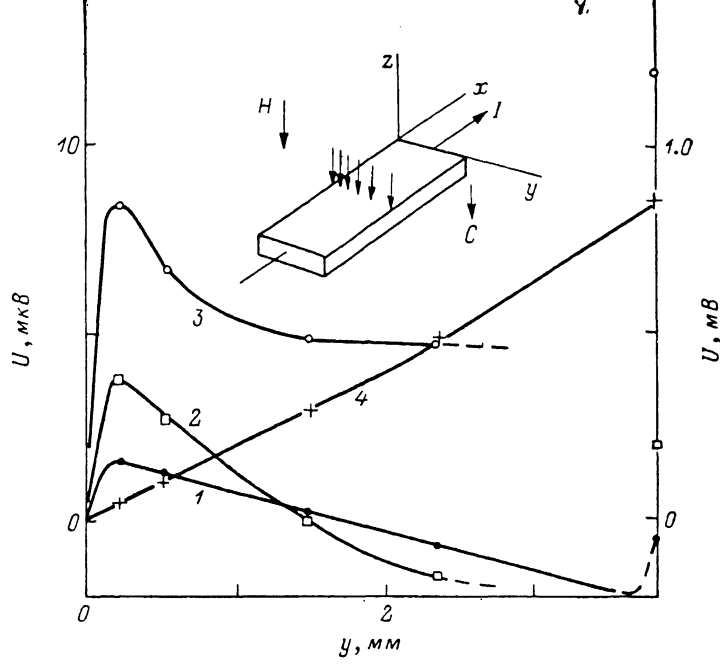


Рис. 1. Изменение распределения потенциала U (y) в монокристалле висмута в условиях $I \perp H \parallel Oz$ («эффект Холла»).

На вставке — схема монтажа, $C \parallel Oz$ — тригональная ось, $I \parallel Ox$, $V_D \parallel Oy$, шесть контактов (стрелки) расположены по середине образца вдоль Oy . 1 — $H=0.4$, 2 — 1, 3 — 2, 4 — 8 кЭ. Масштаб для 1—3 слева, для 4 — справа.

1) Поток тепла $W \sim 1$ Вт пропускался по образцу с поперечными размерами ~ 1 см и длиной ~ 10 см. Его отношение сопротивлений $R_{300}/R_{4.2} \sim 500$. Вдоль образца располагалось в разных опытах от четырех до десяти потенциальных контактов и два термометра. Чтобы выполнить условие $V_D = \text{const}$, образец термоизолировался со всех сторон, кроме торца $y=0$. В этом случае наблюдается эффект возникновения в непосредственной близости от торца добавочной разности потенциалов U^a , которая сравнима с напряжением U , линейно распределенным по образцу и обусловленным термоэдс. Знак эффекта совпадает со знаком термоэдс (холодный край положителен) и с точки зрения, изложенной выше, соответствует $D_e > D_h$, а его величина растет при понижении температуры. При $T \approx 3$ К и $W \sim 0.5$ Вт $T'_y \sim 0.02$ К/см и на полудлине образца было напряжение термоэдс $U = 1.3 \cdot 10^{-6}$ В (т. е. термоэдс $Q \sim 10^{-5}$ В·К $^{-1}$), а добавочная разность потенциалов $U^a = 1.1 \cdot 10^{-6}$ В (относительная погрешность при этих измерениях $\sim 2 \cdot 10^{-8}$ В). Следует отметить, что такого же порядка разность потенциалов $\sim 0.3 U^a$ наблюдалась и на двух контактах, расположенных на торце $y=0$, но один в центре, а другой на боковой поверхности, т. е. имеет место и радиальное поле.

2) В магнитном поле $H \parallel Oz$ через пластинку размерами $10 \times 4 \times 0.4$ мм (висмут с $R_{300}/R_{4.2} \sim 100$) пропускался электрический ток $I_x = 1$ мА, так что дрейф $V_D = cE_x/H$ направлен вдоль Oy и поперечное напряжение определялось, как обычно, при помощи коммутации направления магнитного поля, только вместо обычных двух холловских контактов использовалось шесть (см. вставку на рис. 1). В магнитных полях $H \leq 1$ кЭ ($\omega \tau \leq 10^2$) вблизи границы также наблюдается добавочное напряжение U_y^a , которое в этом случае противоположно по знаку эдс Холла в образце поэтому электрическое поле E_y по крайней мере дважды меняет знак. Напряжение U_y^a электронного знака и соответствует $D_s < D_h$ в поперечном магнитном поле. При увеличении магнитного поля U_y^a растет быстрее эдс Холла, поэтому полная разность потенциалов (холловская) меняет знак. В данном случае это происходит при $H^* = 0.5$ кЭ, но величина H^* , очевидно, зависит от размеров образца. При дальнейшем увеличении $H \gg H^*$ электрическое поле E_y становится всюду электронного знака.

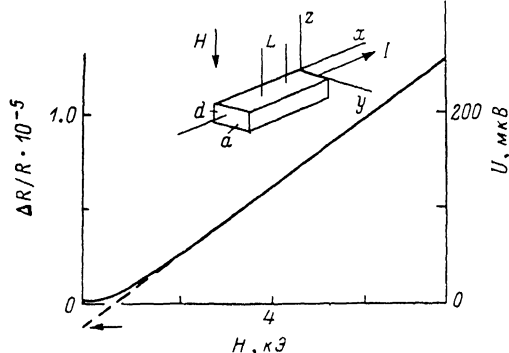


Рис. 2. Магнитосопротивление при $I \perp H$ ($I=1$ мА) в образце с размерами (мм) $a=2.8$, $d=2.6$, $L=2.9$.

Прямая $R(H)$ простирается до $H > 40$ кЭ (слабые осцилляции $\sim 1\%$ при $H \geq 20$ кЭ), стрелка соответствует $\Delta R/R_0 = a^2/L^2$.

а затем, по-видимому, и однородным. Угол Холла при этом растет, и при $H=25$ кЭ отношение $E_y/E_x \approx 0.25$.

3) Образование неравновесных носителей заряда у границы образца приводит в поперечном магнитном поле к добавочному переносу заряда вдоль этой границы, т. е. к уменьшению магнитосопротивления (статический скин-эффект [3, 4]). Действительно, если тока I_x в образце нет и его магнитный момент равен нулю, то $n=0$ и поверхностный ток также равен нулю. Однако каждая неравновесная («лишняя») частица, будь то электрон или дырка, оказавшаяся в результате дрейфа у поверхности ближе, чем r_H (ларморовский радиус), скачет вдоль нее (электроны и дырки скачут в противоположные стороны) по направлению к нужному токовому контакту со средней скоростью $\tilde{v} \ll v_F$, и тем большей, чем ближе она (частица) к поверхности. Поэтому плотность поверхностного тока

$$j_s = |e| \int_0^H n^H(y) \tilde{v}(y) dy. \text{ Считая } \lambda > r_H \text{ и скорость } \tilde{v}(y) \text{ линейной по } y, \text{ полу-}$$

чим в образце толщиной d полный поверхностный ток $I_s = e n_0^H v_F r_H d$ (в отличие [3, 4], где вычисляется эффективная длина пробега частиц, что удобнее для описания хаотического движения этих частиц; здесь же частицы движутся в одном направлении). Подставляя известные $n_0^H = n_0 \omega \tau$, $n_0 = N_0 V_B \lambda D^{-1}$, $D = v_F^2 \tau$, $V_D = c E_x / H$ и $r_H = \tilde{v}_F \omega^{-1}$, получим оценку $I_s = U_L d N_0 e c H^{-1} \lambda L^{-1}$, где L — длина образца, U_L — продольное напряжение. Объемный ток $I_v \approx N_0 e^2 \tau m^{-1} (\omega \tau)^{-2} U_L a d L^{-1} = U_L d N_0 e c H^{-1} a L^{-1} \times (\omega \tau)^{-1}$; здесь a — ширина образца. В результате полный ток $I = U_L d N_0 e c H^{-1} \lambda L^{-1} (1 + a/\lambda \omega \tau)$. При $\omega \tau \ll a \lambda^{-1}$ преобладает объемный ток и магнитосопротивление $R(H) \propto H^2$. При $\omega \tau \gg a \lambda^{-1}$ преобладает па-

верхностный ток и, если τ_{sh} не зависит от H , $R(H)$ линейна. Именно такая зависимость наблюдается на эксперименте (рис. 2), где $U(H)$ становится линейной при $H > 2$ кЭ. В экспериментах на различных образцах качественно подтверждаются зависимость магнитосопротивления от формы образца и отсутствие влияния различного качества поверхности (зеркальный скол и электроэрозионный срез). Из наклона U'_H асимптотической прямой $U(H)$, а также по ее смещению относительно начала координат (указано стрелкой на рис. 2), которое в относительных единицах $\Delta R/R_0 = -a^2/\lambda^2$, оценка величины $\lambda \sim 10^{-3}$ см. Наблюдаемая зависимость указывает также на то, что электрон-дырочная рекомбинация происходит, по-видимому, гораздо чаще в объеме образца, чем при отражении от поверхности.

В заключение отметим, что наблюдаемое кардинальное изменение распределения потенциала можно связать с переходом при $\omega \tau \sim a\lambda^{-2}$ от равномерного по объему тока к поверхностному. Другие полученные результаты также можно рассматривать лишь как качественные, поскольку неоднородное электрическое поле уже не может быть обеспечено только поверхностным зарядом и поэтому необходимо решать задачу с учетом объемного заряда. Кроме того, из-за существенной анизотропии поверхности Ферми имеется составляющая V_d вдоль Oz , также приводящая к возникновению неравновесных электронов у соответствующей грани.

Автор благодарен В. А. Козлову за обсуждение результатов.

Список литературы

- [1] Рашба Э. И. // ЖЭТФ. 1965. Т. 48. № 5. С. 1427—1432.
- [2] Франк-Каменецкий Д. А. // Лекции по физике плазмы. М., 1968. Гл. VI. С. 205.
- [3] Азбелль М. Я. // ЖЭТФ. 1963. Т. 44. № 3. С. 983—988.
- [4] Копелиович А. И. // ЖЭТФ. 1980. Т. 78. № 3. С. 987—1007.

Институт атомной энергии
им. И. В. Курчатова.
Москва

Поступило в Редакцию
6 апреля 1989 г.